

北海道大学 正員 加来 照俊
北海道開発局 正員 本多 满

1. まえがき

近年、高速自動車道の延伸により、自動車車両（以下車両）の高速走行時の安定性について、ブレーキの問題をはじめとして、多くの問題が生じてきた。ほぼ速度の自乗に比例して増大する空気力が車両の安定性、操縦性に及ぼす影響も上述した諸問題の一つである。本文はこの空気力のうち、横風を受けた車両の運動から走行安定性を理論的に考察を加えたもので、道路線形設計の一助にしようとするものである。

2. 車両の運動理論

平坦路を直線走行中の車両が、突然横向きの突風を受け、車両の定常直線走行運動が乱された場合を考える。この様なとき、運転者は直ちに適切な操舵を加えるのが普通であるが、ここで操舵を加えず、ハンドルは真直ぐに保持し、横風は左より加わるものとする。車両の重心は、元の進路より右へ移動し、車体の中心線は元の進路に対して $\Delta\theta$ （姿勢角、右回頭を正とする）だけ左に向いている。重心の速度 V は元の進路に対し $\Delta\beta$ （進路角、右向きを正）だけ右向きであるので、車両は重心点において $\Delta\beta$ （横すべり角、右横すべりを正）の対地右横すべり運動をすることになる。各車輪、および重心点に働く力、モーメントは以下の様である。（図1）

- (1) 前輪のコーナリングフォース（以下CF）よりのモーメント：左右前輪によるCFは $-2K_f\Delta\beta$ （右向きを正）。このCFによる重心まわりのモーメントは $-2K_f\Delta\beta l_1$ （右回頭を正）。 l_1 は重心と前輪間の距離、左前輪のCFを C_1 、右前輪のCFを C_2 。
- (2) 後輪のCFよりのモーメント：左右後輪によるCFは $-2K_r\Delta\beta$ 。このCFによる重心まわりのモーメントは $2K_r\Delta\beta l_2$ 。 l_2 は重心と後輪間との距離、左後輪のCFを C_3 、右後輪のCFを C_4 。
- (3) 空気力学的横向力 C_a ： $C_a = dC_a/d\beta \cdot \Delta\beta \cdot \frac{1}{2} \cdot S \cdot V^2$ 。 C_a は横向力係数、 S は空気の密度、 S は車両前面投影面積。
- (4) 空気力学的モーメント M_a ： $M_a = dC_m/d\beta \cdot \Delta\beta \cdot \frac{1}{2} \cdot S \cdot V^2 \cdot l$ 、 l は車輪間距離、 C_m はヨーイングモーメント係数。
- (5) 前輪のころがり抵抗、および後輪の駆動力より生ずるモーメント M_{fr} ：両前輪のころがり抵抗 $U_f W l_2/l_1$ から、これによるモーメントは $-U_f W l_2/l_1 \cdot l_1 \Delta\beta$ 。 U_f はころがり抵抗係数、 W は車両重量、両後輪に作用する駆動力 T が両前輪のころがり抵抗と車体の空気抵抗 $C_a \frac{1}{2} \cdot S \cdot V^2$ が釣合うとすれば、

$$T = U_f W l_2/l_1 + C_a \frac{1}{2} \cdot S \cdot V^2 \quad (1)$$

$$M_{fr} = -(U_f W l_2/l_1 \cdot l_1 \Delta\beta + T \cdot l_2 \Delta\beta) \quad (2)$$

また $l_1 + l_2 = l$ から $M_{fr} = -(U_f W + C_a \frac{1}{2} \cdot S \cdot V^2) l_2 \Delta\beta$ となる。

$$(6) 減衰力 C_d 、および減衰モーメント M_d （図2）：図より $C_d = -2(K_f l_1^2 + K_r l_2^2) / V \cdot d\theta / dt$ 。$$

$$M_d = -2(K_f l_1^2 + K_r l_2^2) / V \cdot d\theta / dt \quad (3)$$

$$(7) 外乱力（右向き横向力 F_{ex} 、右回頭モーメント M_{ex} ）：$$

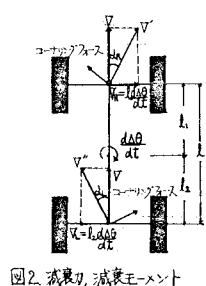
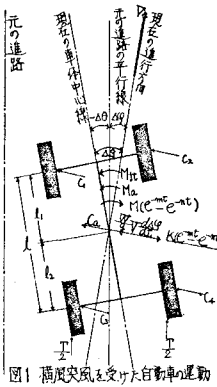
外乱力として横風突風を表すの K は正弦波、二次曲線などが考えられるが本文では以下の様に指數曲線で横風突風を表すこととした（図3）。

$$F_{ex} = K(e^{mt} - e^{-nt}), M_{ex} = M(e^{mt} - e^{-nt}) \quad (4)$$

これらの方程式で $m = 0.5s$, $n = 1.2s$, $K = 500kg$, $M = 120kg$ を代入すると $t = 1.4$ 秒で $\text{Max } F_{ex(1.4)} = 125kg$, $\text{Max } M_{ex(1.4)} = 30kg \cdot m$ となる。

3. 運動方程式

遠心力と求心力の合力から重心の横運動方程式は



$$W_g \cdot V \cdot d\Delta\theta/dt = -2(K_f \Delta\beta + 2K_r \Delta\beta + dC_y/d\beta \cdot \Delta\beta \cdot S \cdot V^2) - 2(K_f l_1 - K_r l_2)/V \cdot d\theta/dt + K(e^{mt} - e^{nt}) \quad \dots \dots (1)$$

重心すわりのモーメントのつりあいからヨーイングの運動方程式は

$$J_z d^2\Delta\theta/dt^2 = 2K_r \Delta\beta l_2 - 2K_f A_l l_1 + dC_m/d\beta \cdot \Delta\beta \cdot S \cdot V^2 l - (U_r W + C_r \cdot S \cdot V^2) l_2 \cdot A\beta - 2(K_f l_1^2 + K_r l_2^2)/V \cdot d\theta/dt + M(e^{mt} - e^{nt}) \quad \dots \dots (2)$$

J_z は重心を通る上下車両の慣性モーメント、ここで $\Delta\theta = \Delta\varphi - \Delta\beta$ $\dots \dots (3)$ とおき未知数として $\Delta\varphi, \Delta\beta$ をとることとし、上の3つの式から $\Delta\theta$ を消去すれば

$$\alpha_{12} d\Delta\varphi/dt + \alpha_{10} \Delta\beta - \alpha_{10} d\Delta\beta/dt = K(e^{mt} - e^{nt}) \quad \dots \dots (4)$$

$$\alpha_{22} d^2\Delta\varphi/dt^2 - \alpha_{21} d\Delta\varphi/dt - \alpha_{22} d^2\Delta\beta/dt^2 + \alpha_{21} d\Delta\beta/dt - \alpha_{20} \Delta\beta = M(e^{mt} - e^{nt}) \quad \dots \dots (5)$$

ここで $\alpha_{12} = W_g \cdot V + 2(K_f l_1 - K_r l_2)/V$ 第2項 < 第1項なので $\alpha_{12} = W_g \cdot V = \alpha_{11}$ とする。

$$\alpha_{10} = \{2(K_f + K_r) + dC_y/d\beta \cdot S \cdot V^2\}, \quad \alpha_{10} = 2(K_f l_1 - K_r l_2)/V \approx 0 \text{ とする} \quad (4) \text{ 式の第3項は無視する。}$$

$$\alpha_{22} = \alpha_{22} = J_z, \quad \alpha_{21} = \alpha_{21} = -2(K_f l_1^2 + K_r l_2^2)/V$$

$$\alpha_{20} = \{2(K_r l_2 - K_f l_1) + dC_m/d\beta \cdot S \cdot V^2 l - (U_r W + C_r \cdot S \cdot V^2) l_2\} \text{ とすると (4) 式は}$$

$d\Delta\varphi/dt + \alpha_{10} \Delta\beta = K(e^{mt} - e^{nt}) \dots \dots (6)$ 式(1), (2)は動的的方向安定の基礎方程式であるが、近似式(5) (6)から $\Delta\beta, \Delta\varphi$ を求める。初期条件は、がく乱前の定常直線走行状態である $t=0$ で $\Delta\beta=0, \Delta\varphi=0, d\Delta\beta/dt=0$ である。

以上から車両の重心の直角経路は

走行距離 $x = \int_0^t V \cos \Delta\varphi dt = Vt$, 横変位量 $y = \int_0^t \Delta\beta dt$ から求められる。

4. 計算例

以上の理論により、1500ccクラスの乗用車について計算をおこなった結果を図4に示す。図4は車速 $V=10, 15, 20, 25, 30$ m/s で走行する車両に横風突風が作用した場合の重心の経路を示してある。計算に使用した諸元、数値は以下の様である。

$$W = 1.000 \text{ kg}, \quad l = 2.7 \text{ m}, \quad l_1 = 1.54 \text{ m}, \quad l_2 = 1.16 \text{ m}, \quad K_f = 22 \text{ kg/deg},$$

$$K_r = 33 \text{ kg/deg}, \quad dC_y/d\beta = 0.04/\text{deg}, \quad dC_m/d\beta = 0.03/\text{deg}, \quad U_r = 0.012$$

$$C_r = 0.3, \quad J_z = 150 \text{ kg}, \quad P = 0.125 \text{ kg}, \quad S = 2.0 \text{ m}, \quad K = 500 \text{ kg}, \quad M = 120 \text{ kg}$$

$$m = 0.5 \text{ s}, \quad n = 10 \text{ s},$$

図4から、車両に横風突風が作用した場合には、計算上ではあるが、一般予想されるよりも大きな横変位が生ずることがわかる。

5. あとがき

以上、横風突風を受ける車両の運動についておこなった理論計算の概略を述べた。自動車は航空機や船舶などの他の交通機関と異なり、横変位に対する許容され得る幅は限られており、横方向への移動は直ちに交通事故にもつながるものである。本文は理論解析のみの結果であるが、今後事故の実例および、何らかの方法により実験解析をおこなって比較検討を行いたい。なおこの研究は昭和48年度文部省科学研究費によっておこなったものである。

参考文献

近藤政一 . 期壁自動車工学 前後期編

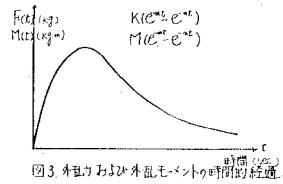


図3. 重心すわり外乱モーメント時間的経過

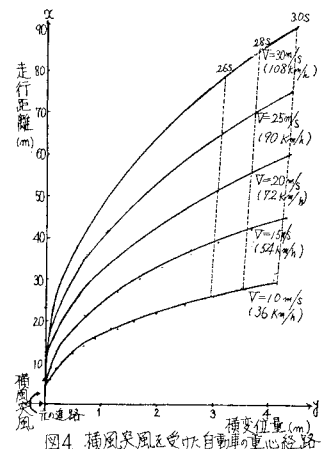


図4. 横風突風を受けた自動車の重心経路